

Таким образом, захват собственных междузельных атомов А-центрами становится существенным при  $N_a$ , соответствующей  $\Phi^*$ , т. е. при  $N_a \geq N_a^* \approx 1.5 \times 10^{17} \text{ см}^{-3}$ . При  $N_a = N_a^*$  из условия (4) находим

$$1/\tau_i \alpha_i \leq 7.5 \cdot 10^{16} \text{ см}^{-3}. \quad (5)$$

Если для оценок принять, что скорость захвата междузельных атомов I как А-центрами, так и другими стоками лимитируется диффузией,  $1/\tau_i = 4\pi D_i r_1 N_F$ , а  $\alpha_i = 4\pi D_i r_2$ , где  $r_1$  и  $r_2$  — соответствующие радиусы захвата,  $D_i$  — коэффициент диффузии I,  $N_F$  — концентрация стоков для I, то из (5) получим

$$N_F \leq \frac{r_2}{r_1} 7.5 \cdot 10^{16} \text{ см}^{-3}.$$

Поскольку, по-видимому,  $r_1 \approx r_2$ , полученная оценка сверху указывает на то, что возможными стоками, определяющими  $\tau_i$ , являются атомы углерода, концентрация которых  $N_C \approx 5 \cdot 10^{16} \text{ см}^{-3}$ . При этом зависимость  $N_a \sim \sqrt{\Phi}$  будет выполняться уже достаточно хорошо, с точностью не хуже 30 %.

Полученные результаты позволяют также провести оценку эффективности введения V и I в анализируемом эксперименте. При  $\Phi \geq \Phi^*$  имеем  $N_a^2 = 2\lambda t / \tau_i \alpha_i$ . Учитывая, что  $\lambda = \Sigma N_{Si} J$ , где  $\Sigma$  — сечение образования дефектов,  $N_{Si}$  — концентрация атомов Si, а  $J$  — интенсивность потока электронов, и используя найденное значение  $\tau_i \alpha_i$ , нетрудно получить, что скорость введения дефектов при данном виде облучения  $\Sigma N_{Si} \geq 0.12 \text{ см}^{-1}$ . С другой стороны, если атомы углерода действительно являются преобладающими стоками для I, то можно получить, что  $\Sigma N_{Si} \leq 0.18 \text{ см}^{-1}$ . Эти границы для скорости введения первичных дефектов, участвующих в образовании вторичных дефектов, удовлетворительно согласуются с экспериментальными данными [6].

#### Список литературы

- [1] Винецкий В. Л., Холодарь Г. А. Радиационная физика полупроводников. Киев, 1979. 332 с.
- [2] Шаховцов В. И., Шинкаренко В. К., Хируненко Л. И., Шпинар Л. И., Ясковец И. И. // ФТП. 1987. Т. 21. В. 3. С. 562—565.
- [3] Атабаев И. Г., Саидов М. С., Шаховцов В. И., Хируненко Л. И., Шинкаренко В. К., Шпинар Л. И. // ФТП. 1987. Т. 21. В. 3. С. 570—573.
- [4] Смирнов Л. С. // Дефекты структуры в полупроводниках. Новосибирск, 1973. С. 201—207.
- [5] Неймаш В. Б., Соснин М. Г., Туровский Б. М., Шаховцов В. И., Шиндяч В. Л. // ФТП. 1982. Т. 16. В. 5. С. 901—903.
- [6] Kimerling L. C. // Inst. Phys. Conf. Ser. N 31. 1977. Ch 2. P. 221—230.

Институт физики АН УССР  
Киев

Получено 7.06.1988  
Принято к печати 24.01.1989

ФТП, том 23, вып. 5, 1989

## ВЛИЯНИЕ ЭЛЕКТРОННОГО ОБЛУЧЕНИЯ НА ХАРАКТЕР НИЗКОТЕМПЕРАТУРНОЙ ПРОВОДИМОСТИ И ЕМКОСТИ В КРЕМНИЕВЫХ МДП СТРУКТУРАХ

Галаев А. А., Выговская Е. А., Малинкович М. Д.

Осцилляции продольной проводимости в зависимости от напряжения на затворе наблюдались в ряде работ [1—5]. Было показано, что положение экстремумов не зависит от температуры, магнитного поля, смещения подложки. Амплитуда осцилляций растет с уменьшением длины канала, понижением температуры. Характер осцилляций не остается постоянным при смене номера образца или выборе другой группы контактов к каналу на исследуемом образце. Выска-

зывались предположения, что их причиной является либо образование двумерного вигнеровского кристалла в примесной зоне полупроводника [3, 4], либо прыжковая проводимость с переменной длиной прыжка в образцах малых размеров [2, 5], либо явление протекания [6].

В данной работе исследованы зависимости двумерной дифференциальной проводимости ( $G=dJ/dV_g$ ,  $dG/dV_g$ ) и емкости ( $C$ ,  $dC/dV_g$ ) от напряжения на затворе  $V_g$  в инверсионных слоях кремния при 4.2 К. Тестовые МДП транзисторы с различными длиной и шириной канала ( $L=4, 6, 8, 20, 200, 400$  мкм;  $W=50, 100$  мкм), толщиной затворного окисла 60 нм изготовлены в слоях  $p$ -кремния [ориентация (100), концентрация акцепторной примеси  $\sim 10^{16}$  см $^{-3}$ ]. Затвор изготовлен из поликристаллического кремния с парой контактов ( $K1, K2$ ) у краев канала ( $S, D$ ) (см. вставку на рис. 1) для создания однородного поля в канале.

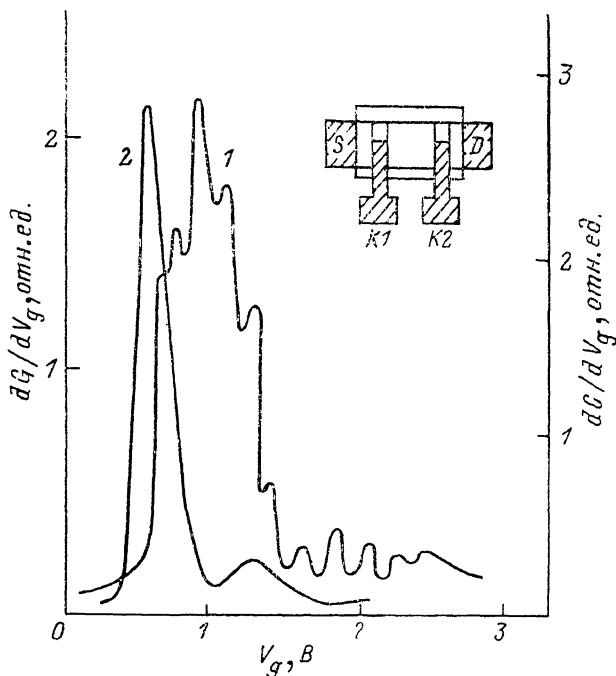


Рис. 1. Зависимости  $dG/dV_g$  (1) и  $dC/dV_g$  (2) от напряжения на затворе в исходных структурах. На вставке — схема МДП структуры.

Для измерения проводимости и емкости, а также их производных, определяемых по величине сигнала второй гармоники  $U_{2\omega}$ , напряжение на затворе модулировали сигналом частотой 287 Гц с амплитудой  $U_0=0.05$  В. Были исследованы как исходные, так и структуры, подвергнутые электронному облучению дозами  $5 \cdot 10^{13}$ ,  $5 \cdot 10^{14}$  и  $4 \cdot 10^{15}$  см $^{-2}$ . Операцию радиационной обработки исследуемых структур проводили на ускорителе ЭЛУ-6 (энергия электронов  $E_e=6$  МэВ) интегральными потоками  $10^{13}$ — $10^{16}$  эл/см $^2$ .

При измерении проводимости для создания однородного поля в канале между краями резистивного затвора  $K1$  и  $K2$  прикладывали смещение  $\Delta V_g = V_{K1} - V_{K2} = V_D - V_S$ . В процессе измерения между стоком и истоком при помощи системы стабилизации поддерживали постоянное смещение. Измерение емкости проводили при тех же значениях  $\omega$ ,  $U_0$ , объединяя попарно контакты ( $K1, K2$ ) и ( $S, D$ ).

Напряжение  $U_\omega$ , определяемое дифференциальной проводимостью канала, обнаруживало слабые осцилляции при изменении  $V_g$ , а сигнал  $U_{2\omega}$  имел выраженный осциллирующий характер, положения экстремумов которого совпадали с наибольшей крутизной изменения  $U_\omega$ .

Осцилляции проводимости наблюдались на всех исследованных образцах (исходных, облученных разными дозами и отожженных после облучения)

(рис. 1, 2). При увеличении напряженности поля между стоком и истоком от 2.5 до 40 В/см амплитуда и количество осцилляций уменьшались как в исходных, так и в облученных образцах. С увеличением размеров канала интенсивность пиков уменьшалась. Смена направления тянущего поля приводила к небольшому смещению отдельных осцилляционных максимумов (на  $\sim 0.05$  В при среднем периоде 0.2 В), оставляя неизменной картину в целом. Картина осцилляций устойчиво сохранялась при отогреве образцов от 4.2 до 300 К.

С ростом дозы облучения амплитуда осцилляций ( $dG/dV_g$ ) уменьшалась, но их количество возрастало при неизменной напряженности тянущего поля. Отжиг облученных структур (180 °С, 2 ч) возвращал их в исходное состояние. Для исходных образцов и образцов, подвергнутых малым дозам облучения ( $5 \cdot 10^{13}$  см $^{-2}$ ), зависимости  $C(V_g)$  и  $dC/dV_g(V_g)$  имели монотонный характер (рис. 1). При облучении большими дозами зависимости  $C(V_g)$  обнаруживали слабые осцилляции, а  $dC/dV_g(V_g)$  имели выраженный осциллирующий харак-

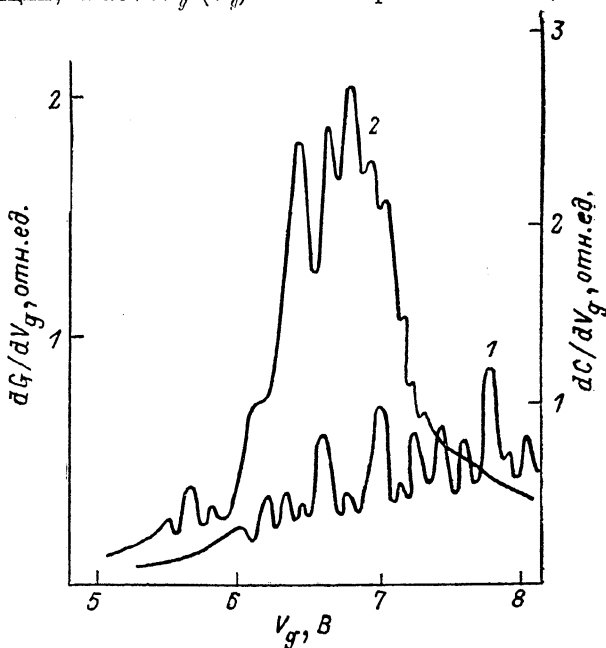


Рис. 2. Зависимости  $dG/dV_g$  (1) и  $dC/dV_g$  (2) от напряжения на затворе в структурах, облученных электронами дозой  $4 \cdot 10^{15}$  см $^{-2}$ .

тер (рис. 2). При последующем отжиге облученных образцов осцилляции емкости пропадали. Облучение структур при максимальной дозе приводило к увеличению порогового напряжения  $V_T$  на  $\sim 3$  В, а после отжига порог принимал исходное значение. Известно, что на изменения  $V_T$  могут оказывать различные три конкурирующих механизма изменения зарядового состояния:  $Q_D$  — заряд в окисле,  $Q_{опз}$  — заряд в области пространственного заряда,  $Q_{nc}$  — заряд на поверхностных состояниях. При облучении в окисле образуется положительный заряд [7], что должно приводить для  $n$ -канала к уменьшению  $V_T$ . Увеличение в нашем случае порогового напряжения  $V_T$  при облучении указывает на преобладание механизма роста отрицательного заряда на поверхностных состояниях  $Q_{nc}$ . На вольтамперных характеристиках и  $C-V$ -кривых наблюдалось также изменение крутизны. При потоках  $10^{13}$  —  $10^{15}$  см $^{-2}$  крутизна менялась незначительно, а после облучения  $10^{14}$  —  $10^{15}$  см $^{-2}$  она уменьшалась, что обусловлено эффективным ростом плотности поверхностных состояний, которые из-за наличия неконтролируемых примесей, механических напряжений и скрытых дефектов в структурах имеют неоднородное энергетическое и пространственное распределение [8, 9].

Известно, что на границе Si—SiO $_2$  существуют крупномасштабные неровности [10]. Поэтому осцилляции проводимости, по-видимому, можно объяснить

классической теории протекания. Облучение структур приводит к тому, что на границе раздела начинают преобладать мелкомасштабные флуктуации потенциала, с чем, вероятно, связаны уменьшение амплитуды осцилляций и увеличение их количества. Однако появление осцилляций емкости при облучении нельзя связать с наличием мелкомасштабных флуктуаций потенциала. Их можно, по всей видимости, объяснить опустошением дискретных уровней поверхностных состояний по мере загиба зон с ростом напряжения на затворе.

#### Список литературы

- [1] Perper M. // J. Phys. C: Sol. St. Phys. 1979. V. 12. P. L617—L619.
- [2] Орлов А. С., Савченко А. К., Ченский Е. В., Ильичев Э. А., Полторацкий Э. А. // Письма ЖЭТФ. 1986. Т. 43. В. 9. С. 421—423.
- [3] Perper M., Uren M. // J. Phys. C: Sol. St. Phys. 1982. V. 15. P. L617—L618.
- [4] Ченский Е. В., Ткач Ю. Я. // Письма ЖЭТФ. 1983. Т. 38. В. 5. С. 235—238.
- [5] Нгуен В. Л. и др. // Письма ЖЭТФ. 1986. Т. 43. В. 1. С. 35—39.
- [6] Arnold E. // Surf. Sci. 1976. V. 58. P. 60—70.
- [7] Зи С. Физика полупроводниковых приборов. Т. 1. М., 1984. 455 с.
- [8] Горюнов Н. Н., Ладыгин Е. А., Паничкин А. В. // Электрон. техн. Сер. 8. 1985. № 6. С. 39—41.
- [9] Горюнов Н. Н., Ладыгин Е. А., Малинин В. Г., Паничкин А. В. // Электрон. техн. Сер. 8. 1986. № 4. С. 18—19.
- [10] Хайкин М. С., Трояновский А. М., Эдельман В. С., Пудалов В. М., Семенчинский С. Г. // Письма ЖЭТФ. 1986. Т. 44. В. 4. С. 193—197.

Московский институт стали  
и сплавов

Получено 5.08.1988  
Принято к печати 24.01.1989

ФТП, том 23, вып. 5, 1989

## ВЛИЯНИЕ КИСЛОРОДА НА ОБРАЗОВАНИЕ АКЦЕПТОРНЫХ УРОВНЕЙ НИКЕЛЯ В $n$ -Si

Витман Р. Ф., Гусева Н. Б., Лебедев А. А., Таптыгов Э. С.

Известно, что полная концентрация никеля, введенного в кремний, определяемая методами активационного анализа или меченых атомов, на 3—4 порядка больше его электрически активной доли ( $N_{Ni}^{2+}$ ), оцененной из спектров DLTS [1]. Этот факт свидетельствует о нахождении большей части атомов Ni на каких-либо неактивных стоках (скоплениях примесей, дефектах) или в неактивном состоянии в междоузлиях. В данной работе параллельно с оценкой  $N_{Ni}^{2+}$  исследовались оптические свойства Si с Ni в ИК области спектра, структурное несовершенство Si, связанное диффузией Ni, и изменение этих свойств в зависимости от концентрации «свободного» и «связанного» кислорода. Использовались методы DLTS, ИК поглощение при  $\sim 1$ , 9.1 и  $\sim 16$  мкм, рентгеновская топография, по Лангу, и ИК микроскопия.

Никель вводился методом диффузии из напыленного в вакууме слоя металлического Ni ( $T=1080$  °C,  $t=3\div 4$  ч, охлаждение с закалкой со скоростью  $\sim 10^4$  или  $\sim 200$  град/ч). Исследовались образцы бездислокационного  $n$ -Si с  $\rho \approx 5\div 100$  Ом·см и различным содержанием оптически активного кислорода ( $N_O^{2+}$ ) [ $N_O \leq 10^{16}$ ,  $N_O \approx (7\div 9) \cdot 10^{17}$  и  $N_O \approx 1.4 \cdot 10^{18}$  см $^{-3}$ ].

Исследования показали, что в спектрах ИК поглощения в Si с  $N_O^{2+} > 10^{17}$  см $^{-3}$  после введения никеля наблюдалось уменьшение амплитуды полосы поглощения кислорода при 9.1 мкм на 7—18 % при увеличении  $N_{Ni}^{2+}$  от  $4 \cdot 10^{13}$  до  $2 \cdot 10^{14}$  см $^{-3}$ . Сильное ухудшение прозрачности образцов с Ni в исследуемом диапазоне длин волн (2.5—25 мкм) несколько затрудняет оценку величины  $N_O^{2+}$ .

Аналогичный эффект обнаружен и для концентрации оптически активного углерода ( $N_C^{2+}$ ) вблизи 16 мкм, причем для углерода эффект уменьшения  $N_C^{2+}$